

## Динамика межфазных доменных границ при фазовом переходе типа Морина

© В.С. Герасимчук\*, А.Л. Сукстанский

Донецкий физико-технический институт Академии наук Украины,  
340114 Донецк, Украина

\* Донбасская государственная академия строительства и архитектуры,  
339023 Макеевка, Украина

(Поступила в Редакцию 9 июня 1998 г.)

Теоретически изучена динамика 90-градусных межфазных доменных границ, реализующихся при спин-переориентационном фазовом переходе первого рода типа Морина. Показано, что под действием внешнего осциллирующего магнитного поля имеет место колебательное движение границ с амплитудой, линейно зависящей от амплитуды поля, а также дрейфовое движение границы со скоростью, пропорциональной квадрату амплитуды поля. Предсказана возможность дрейфа всей доменной структуры как целого.

Хорошо известно, что в ряде слабых ферромагнетиков имеет место спин-переориентационный фазовый переход из слабо ферромагнитной фазы в антиферромагнитную фазу — так называемый переход типа Морина. Классическим примером такого рода фазового перехода является переход в диспрозиевом ортоферрите ( $DyFeO_3$ ) при понижении температуры до 40 К [1,2], при которой происходит переориентация вектора антиферромагнетизма от  $a$ -оси кристалла к  $b$ -оси.

Экспериментальные наблюдения перехода типа Морина в  $DyFeO_3$  [2–4] свидетельствуют о том, что этот переход является фазовым переходом первого рода, и в области перехода возникает промежуточное состояние, представляющее собой доменную структуру, состоящую из чередующихся слабо ферромагнитных и антиферромагнитных доменов. При этом следует отметить, что когерентная доменная структура возникает лишь в том случае, когда к магнетику приложено внешнее постоянное магнитное поле (в экспериментах [4,5] это поле было ориентировано вдоль  $b$ -оси кристалла).

Теоретическому исследованию переходов типа Морина посвящено большое количество работ (см., например, [1–4]), основное внимание в которых уделено изучению промежуточного состояния, возникающего в области фазового перехода, симметричному анализу, построению фазовых диаграмм и т. д. Значительно менее изучены являются динамические свойства межфазных доменных границ (ДГ), которые разделяют антиферромагнитные и слабо ферромагнитные домены, сосуществующие при рассматриваемом спин-переориентационном фазовом переходе.

При переходе типа Морина межфазные ДГ являются 90-градусными. Динамические свойства 90-градусных ДГ существенно отличаются от соответствующих свойств 180-градусных границ. В частности, как показано в [6], предельная скорость стационарного движения 90-градусной межфазной ДГ определяется релятивистскими взаимодействиями, в то время как предельная скорость 180-градусных ДГ в АФМ определяется только обменными взаимодействиями (см., например, [7]).

В [8] изучено равномерное движение межфазной 90-градусной ДГ, реализующейся при температурном фазовом переходе, и показано, что скорость движения межфазной ДГ определяется балансом между "силой давления", возникающей вследствие отклонения системы от положения фазового равновесия, и "силой трения", обусловленной диссипативными процессами. Динамические свойства межфазной ДГ в антиферромагнетике во внешнем магнитном поле при фазовом переходе типа спин-флопа исследованы в [9]. Стационарное и колебательное движение межфазной ДГ в ромбических сегнетоферромагнетиках под действием внешнего электрического поля рассмотрено в [10].

Экспериментально характерные особенности динамических свойств межфазных ДГ в ортоферрите диспрозия под действием импульсного магнитного поля с коротким нарастанием импульса были обнаружены в [11–13]. Эти особенности проявляются, в частности, в нелинейной зависимости скорости границы от амплитуды поля и асимметрии этой зависимости относительно направления импульсного поля.

Целью настоящей работы является теоретическое изучение динамических свойств уединенных 90-градусных межфазных ДГ в слабых ферромагнетиках типа редкоземельных ортоферритов (РЗО), возникающих при фазовом переходе типа Морина под действием переменного внешнего магнитного поля. Аналогичная задача для межфазных границ, существующих в области спин-переориентационного фазового перехода типа "спин-флоп" в антиферромагнетиках, решалась в [14]. Существенное различие между этими задачами заключается в существовании в РЗО обменно-релятивистского взаимодействия Дзялошинского, обуславливающего наличие слабого ферромагнитного момента в одной из фаз, между которыми имеет место фазовый переход типа Морина. Как показано на примере 180-градусных доменных границ в слабых ферромагнетиках [15], учет взаимодействия Дзялошинского приводит к существенным отличиям динамических характеристик границ в слабых ферромагнетиках от соответствующих характе-

ристик "чистых" антиферромагнетиков. Поэтому следует ожидать, что учет взаимодействия Дзялошинского окажется столь же принципиальным и для интересующих нас в настоящей работе межфазных доменных границ в РЗО.

Как известно на примере 180-градусных ДГ в различных магнитоупорядоченных кристаллах, в осциллирующем магнитном поле ДГ колеблется с частотой поля и, кроме того, имеет место дрейф ДГ, т.е. появление постоянной составляющей скорости [15–18]. Далее показано, что эти типы движения характерны и для 90-градусных межфазных ДГ, разделяющих антиферромагнитную и слабо ферромагнитную фазы при переходе типа Морина.

## 1. Основные уравнения

Итак, рассмотрим двухподрешеточный слабый ферромагнетик типа РЗО, к которым относятся вещества с химической формулой  $MFeO_3$ , где  $M$  — какой-либо редкоземельный элемент или иттрий; группа симметрии кристалла —  $D_{2h}^{16}$ . Будем исходить из стандартного выражения для энергии РЗО, записанной через векторы слабо ферромагнетизма  $\mathbf{M} = \mathbf{M}_1 + \mathbf{M}_2$  и антиферромагнетизма  $\mathbf{L} = \mathbf{M}_1 - \mathbf{M}_2$  ( $\mathbf{M}_1$  и  $\mathbf{M}_2$  — вектора намагниченности подрешеток) [1,2]

$$W = \int d\mathbf{r} \left\{ \frac{\delta}{2} \mathbf{M}^2 + \frac{\alpha}{2} (\nabla \mathbf{L})^2 + \mathbf{d}[\mathbf{M}, \mathbf{L}] + w_a(\mathbf{L}) - \mathbf{M}\mathbf{H} \right\}, \quad (1)$$

где  $\alpha$  и  $\delta$  — константы неоднородного и однородного обменного взаимодействия соответственно,  $w_a$  — плотность энергии магнитной анизотропии,  $\mathbf{H}$  — внешнее магнитное поле. Оси декартовой системы координат ( $Z, Y, Z$ ) выберем совпадающими соответственно с  $a$ -,  $b$ - и  $c$ -осями кристалла. Для РЗО характерна ромбическая магнитная симметрия типа  $2_x^- 2_z^-$ ; при этом главной четной осью является ось  $Y$ , и  $\mathbf{d} = d\mathbf{e}_y$ ,  $d$  — константа обменно-релятивистского взаимодействия Дзялошинского,  $\mathbf{e}_y$  — орт вдоль соответствующей оси. В используемой геометрии слабо ферромагнитной фазе соответствует ориентация векторов  $\mathbf{L}$  и  $\mathbf{M}$  вдоль  $a$ - и  $c$ -осей РЗО соответственно (фаза  $F_x G_x$  по терминологии, принятой в монографии [19]); в антиферромагнитной фазе вектор антиферромагнетизма  $\mathbf{L}$  ориентирован вдоль  $b$ -оси (фаза  $G_y$ ,  $\mathbf{M} = 0$ ).

Следует отметить, что симметрия РЗО допускает инварианты  $M_x L_z$  и  $M_z L_x$  поотдельности; поэтому более общее выражение для энергии РЗО содержит две константы, описывающие взаимодействие Дзялошинского:  $d_1 M_x L_z$  и  $d_3 M_z L_x$ ,  $d_1 \neq d_3$ . Однако различие между константами  $d_1$  и  $d_3$  имеет чисто релятивистское происхождение и поэтому много меньше каждой из констант  $d_1$ ,  $d_3$  ( $|d_1 - d_3| \sim 10^{-2} d_{1,3}$ , см. [1–3]). Именно это обстоятельство позволяет использовать при описании динамики РЗО приближение  $d_1 \approx d_3 = d$  (влияние различия

констант  $d_1$  и  $d_3$  становится весьма существенным при анализе релаксационных свойств ДГ в РЗО [20]).

Энергию магнитной анизотропии в РЗО запишем в виде

$$w_a = M_0^2 \left[ \frac{1}{2} (\beta_1 l_z^2 + \beta_2 l_y^2) + \frac{1}{4} (\beta'_1 l_z^4 + \beta'_2 l_y^2 l_z^2 + \beta'_3 l_y^4) \right], \quad (2)$$

где  $\mathbf{l} = \mathbf{L}/|\mathbf{L}|$ ,  $\beta_1, \beta_2$  — константы анизотропии второго, а  $\beta'_1, \beta'_2, \beta'_3$  — четвертого порядка;  $M_0 = |M_{1,2}|$  — модуль векторов намагниченности подрешеток.

Статические и динамические свойства двухподрешеточных антиферромагнетиков (в том числе и слабых ферромагнетиков типа РЗО) могут быть исследованы на основе стандартной системы уравнений движения векторов намагниченности подрешеток (уравнений Ландау–Лифшица) или на эквивалентной системе уравнений для векторов  $\mathbf{M}$  и  $\mathbf{L}$ . Однако, как показано в работах [21,22], соответствующая задача может быть существенно упрощена, если воспользоваться тем обстоятельством, что обменное антиферромагнитное взаимодействие между подрешетками велико ( $\delta \gg 1$ ), и поэтому угол подгиба векторов намагниченности подрешеток  $\mathbf{M}_1$  и  $\mathbf{M}_2$  мал. При этом имеет место неравенство  $|\mathbf{M}| \ll |\mathbf{L}| \sim 2M_0$ , используя которое вектор слабо ферромагнетизма  $\mathbf{M}$  удастся выразить через единичный вектор антиферромагнетизма  $\mathbf{l}$

$$\mathbf{M} = \frac{2}{\delta} \left\{ [1[\mathbf{H}\mathbf{l}]] + \frac{2}{g} [\dot{\mathbf{l}}\mathbf{l}] + M_0[\mathbf{d}\mathbf{l}] \right\} \quad (3)$$

( $g$  — гиромангнитное отношение, а точка обозначает дифференцирование по времени) и записать замкнутое уравнение для вектора  $\mathbf{l}$ , которое является вариационным уравнением Эйлера–Лагранжа для эффективной функции Лагранжа  $L(\mathbf{l})$  [22]. Для рассматриваемого РЗО плотность эффективной функции Лагранжа имеет вид

$$L = M_0^2 \left\{ \frac{\alpha}{2} \left[ \frac{1}{c^2} \dot{\mathbf{l}}^2 - (\nabla \mathbf{l})^2 \right] - \frac{1}{2} (\beta_1 l_z^2 + \tilde{\beta}_2 l_y^2) + \frac{1}{4} (\beta'_1 l_z^4 + \beta'_2 l_y^2 l_z^2 + \beta'_3 l_y^4) + \frac{4}{\delta g M_0^2} [\mathbf{H}[\dot{\mathbf{l}}\mathbf{l}]] - \frac{2}{\delta M_0^2} (\mathbf{H}\mathbf{l})^2 + \frac{2d}{\delta M_0} (l_x H_z - l_z H_x) \right\}, \quad (4)$$

где  $c = gM_0(\alpha\delta)^{1/2}/2$  — характерная скорость, совпадающая с минимальной фазовой скоростью спиновых волн в отсутствие магнитного поля,  $\tilde{\beta}_2 = \beta_2 + d^2/\delta$ . Отметим, что такое описание динамики АФМ справедливо во внешних магнитных полях, существенно меньших обменного поля  $H_e = \delta M_0$ .

Динамическое торможение ДГ, обусловленное различными релаксационными процессами, будем описывать с

помощью диссипативной функции  $Q$

$$Q = \frac{\lambda M_0}{2g} \dot{\mathbf{l}}^2, \quad (5)$$

где  $\lambda$  — релаксационная константа.

В терминах двух независимых угловых переменных, параметризующих единичный вектор  $\mathbf{l}$

$$l_x + il_y = \sin \theta \exp(i\varphi), \quad l_z = \cos \theta, \quad (6)$$

уравнения движения с учетом диссипативных слагаемых имеют вид

$$\begin{aligned} & \alpha \left( \Delta \theta - \frac{l}{c^2} \ddot{\theta} \right) + \sin \theta \cos \theta \left[ \alpha \left( \frac{l}{c^2} \dot{\varphi}^2 - (\nabla \varphi)^2 \right) \right. \\ & + \beta_1 - \tilde{\beta}_2 \sin^2 \varphi + \beta'_1 \cos^2 \theta - \beta'_3 \sin^2 \theta \sin^4 \varphi \\ & \left. - \frac{\beta'_2}{2} \cos 2\theta \sin^2 \varphi \right] - \frac{2d}{\delta M_0} (H_z \cos \theta \cos \varphi + H_x \sin \theta) \\ & - \frac{4}{\delta M_0^2} (H_z \cos \theta + H_y \sin \theta \sin \varphi + H_x \sin \theta \cos \varphi) \\ & \times (H_y \cos \theta \sin \varphi - H_z \sin \theta + H_x \cos \theta \cos \varphi) \\ & + \frac{4}{\delta g M_0^2} \left[ \dot{H}_y \cos \varphi - \dot{H}_x \sin \varphi - 2\dot{\varphi} \sin^2 \theta (H_y \sin \varphi \right. \\ & \left. + H_x \cos \varphi) - H_z \dot{\varphi} \sin 2\theta \right] = \frac{\lambda}{g M_0} \dot{\theta}, \quad (7) \end{aligned}$$

$$\begin{aligned} & \alpha \nabla (\sin^2 \theta (\nabla \varphi)) - \frac{\alpha}{c^2} (\sin^2 \theta \ddot{\varphi}) - \sin^2 \theta \sin \varphi \cos \varphi \\ & \times \left( \tilde{\beta}_2 + \frac{\beta'_2}{2} \cos^2 \theta + \beta'_3 \sin^2 \theta \sin^2 \varphi \right) \\ & + \frac{4}{\delta g M_0^2} \left[ -\frac{1}{2} \sin 2\theta (\dot{H}_y \sin \varphi + \dot{H}_x \cos \varphi) \right. \\ & + \dot{H}_z \sin^2 \theta + 2\dot{\theta} \sin^2 \theta (H_y \sin \varphi + H_x \cos \varphi) \\ & \left. + H_z \dot{\theta} \sin 2\theta \right] - \frac{4 \sin \theta}{\delta M_0^2} (H_z \cos \theta + H_y \sin \theta \sin \varphi \\ & + H_x \sin \theta \cos \varphi) (H_y \cos \varphi - H_x \sin \varphi) \\ & + \frac{2d}{\delta M_0} H_z \sin \theta \cos \theta = \frac{\lambda}{g M_0} \dot{\varphi} \sin^2 \theta. \quad (8) \end{aligned}$$

Если  $\beta_1 > 0$ ,  $\tilde{\beta}_2 > 0$ , то в отсутствие внешнего магнитного поля реализуется слабо ферромагнитная фаза  $F_x G_z$ , в которой вектор антиферромагнетизма  $\mathbf{l}$  в основном состоянии коллинеарен легкой оси  $X$ , а вектор слабого ферромагнетизма  $\mathbf{M}$  — оси  $Z$ . При понижении температуры эффективная константа анизотропии  $\tilde{\beta}_2$  меняет знак; при  $\tilde{\beta}_2 < 0$  легкой осью становится ось  $Y$ , к которой и переориентируется вектор антиферромагнетизма  $\mathbf{l}$ . При этом, как легко видеть из соотношения (3), вектор

слабого ферромагнетизма  $\mathbf{M}$  в основном состоянии равен нулю — реализуется антиферромагнитная фаза  $G_y$ .

Как уже отмечалось, при таком спонтанном спин-переориентационном переходе когерентная доменная структура не образуется, что связано с кинетикой рассматриваемого перехода [3,4]. Дело в том, что в исходной слабо ферромагнитной ("высокотемпературной") фазе своеобразными зародышами антиферромагнитной фазы являются 180-градусные доменные границы между доменами с противоположной ориентацией векторов антиферромагнетизма (параллельно и антипараллельно оси  $X$ ), в которых вектор  $\mathbf{l}$  разворачивается в плоскости  $XY$  (в центре таких границ вектор  $\mathbf{l}$  ориентирован вдоль оси  $Y$ ). При приближении к точке фазового перехода толщина границ увеличивается, что в итоге приводит к фактическому распаду исходной 180-градусной границы на две 90-градусные межфазные границы, разделяющие домены с ориентацией вектора  $\mathbf{l}$  вдоль осей  $X$  и  $Y$ . В результате такого процесса и могла бы образоваться когерентная доменная структура (промежуточное состояние). Однако размагничивающие поля препятствуют расширению 180-градусной границы: ее распад на две 90-градусные возможен лишь в том случае, если энергия двух 90-градусных границ оказывается меньше, чем энергия 180-градусной границы. Поэтому переход в антиферромагнитную фазу происходит некогерентным образом и промежуточное состояние не возникает. Если же к магнетику приложено слабое внешнее постоянное магнитное поле, ориентированное вдоль оси  $Y$ , то оно стимулирует распад 180-градусной границы на две 90-градусные с образованием когерентной доменной структуры [3,4]. В связи с этим мы также будем считать, что внешнее магнитное поле  $\mathbf{H} = \mathbf{H}_e + \tilde{\mathbf{H}}(t)$ , где  $\mathbf{H}_e = H_e \mathbf{e}_y$  — постоянное внешнее поле,  $\tilde{\mathbf{H}}(t)$  — внешнее осциллирующее магнитное поле, имеющее все три отличные от нуля компоненты; кроме того, будем считать, что различные компоненты осциллирующего поля имеют между собой, в общем случае, произвольные сдвиги фаз

$$\begin{aligned} \tilde{H}_z &= \tilde{H}_{0z} \cos \omega t, & \tilde{H}_x &= \tilde{H}_{0x} \cos(\omega t + \chi), \\ \tilde{H}_y &= \tilde{H}_{0y} \cos(\omega t + \chi_1) \end{aligned} \quad (9)$$

(как показано далее, скорость дрейфа границы существенно зависит от величины  $\chi$ ,  $\chi_1$ ).

Как следует из уравнений движения (7), (8), при  $\tilde{\mathbf{H}}(t) = \mathbf{0}$  доменной границе, в которой вектор антиферромагнетизма  $\mathbf{l}$  разворачивается в плоскости  $(XY)$ , отвечает  $\theta = \theta_0 = \pi/2$ , а угловая переменная  $\varphi = \varphi_0(y)$  удовлетворяет уравнению

$$\begin{aligned} \alpha \varphi_0'' - \left( \tilde{\beta}_2(T) + \frac{4H_e^2}{\delta M_0^2} \right) \sin \varphi_0 \cos \varphi_0 \\ - \beta'_3 \sin^3 \varphi_0 \cos \varphi_0 = 0 \end{aligned} \quad (10)$$

(предполагаем, что распределение намагниченности в ДГ неоднородно вдоль оси  $Y$ ; штрих обозначает дифференцирование по этой координате).

Как известно (см., например, [1–3]), если константа анизотропии четвертого порядка  $\beta'_3 < 0$ , то фазовый переход типа Морина является фазовым переходом первого рода, температура которого  $T = T_M$  определяется уравнением

$$\beta'(T_M) \equiv \tilde{\beta}_2(T_M) + \frac{4H_c^2}{\delta M_0^2} = \frac{|\beta'_3|}{2} \quad (11)$$

(внешнее постоянное поле  $H_c$  несколько сдвигает температуру перехода<sup>1</sup>). В точке фазового перехода (т.е. при  $\beta' = |\beta'_3|/2$ ), в которой сосуществуют слабо ферромагнитная и антиферромагнитная фазы, решение уравнения (10), описывающее 90-градусную межфазную доменную границу и удовлетворяющее граничным условиям

$$\varphi_0(-\infty) = 0, \quad \varphi_0(+\infty) = \pi/2, \quad \varphi'_0(\pm\infty) = 0, \quad (12)$$

описывается соотношениями

$$\begin{aligned} \varphi'_0 &= \frac{1}{2y_0} \sin 2\varphi_0 = \frac{1}{2y_0} \operatorname{sech} \left( \frac{y}{y_0} \right), \\ \cos 2\varphi_0 &= -\operatorname{th} \left( \frac{y}{y_0} \right), \end{aligned} \quad (13)$$

где  $y_0 = (\alpha/\beta')^{1/2}$  — эффективная толщина 90-градусной границы. Отметим, что эффективная толщина межфазной границы существенно больше толщины обычных 180-градусных границ в силу малости констант анизотропии четвертого порядка по сравнению с константами анизотропии второго порядка.

Как следует из (3) и (13), распределение вектора намагниченности  $\mathbf{M}$  в межфазной границе при  $\dot{\mathbf{H}}(t) = 0$  имеет вид

$$\begin{aligned} M_x &= -\frac{H_c}{\delta} \sin 2\varphi_0 = -\frac{H_c}{\delta} \operatorname{sech} \left( \frac{y}{y_0} \right), \\ M_y &= \frac{2H_c}{\delta} \cos^2 \varphi_0 = \frac{H_c}{\delta} \left[ 1 - \operatorname{th} \left( \frac{y}{y_0} \right) \right], \\ M_z &= -\frac{2dM_0}{\delta} \cos \varphi_0 \\ &= -\frac{2dM_0}{\delta} \left[ 1 + \exp \left( \frac{2y}{y_0} \right) \right]^{-1/2}. \end{aligned} \quad (14)$$

Таким образом, при  $H_c = 0$  вектор  $\mathbf{M}$  в межфазной границе параллелен оси  $Z$  и изменяется только по величине — от величины  $(2dM_0/\delta)$  (по модулю) в слабо ферромагнитной фазе (при  $y \rightarrow -\infty$ ) до 0 в антиферромагнитной фазе (при  $y \rightarrow +\infty$ ). Если же внешнее магнитное поле  $H_c$  не равно нулю, то в межфазной границе все три компоненты вектора  $\mathbf{M}$  отличны от нуля.

Если к уже существующей межфазной доменной границе приложить дополнительное внешнее магнитное

поле вдоль оси  $Z$ , то оно нарушит равенство энергий двух фаз и граница начнет двигаться в сторону энергетически более выгодной фазы. При этом предельная скорость движения определяется максимально допустимой величиной дополнительного поля (существование этого ограничения связано с тем, что суммарное поле должно оставаться в области лабильности фаз, разделяемых межфазной границей). Если дополнительное поле переменное, то движение межфазной границы будет нестационарным, в частности, в случае осциллирующего поля граница будет колебаться с частотой поля, причем амплитуда колебаний прямо пропорциональна амплитуде переменного поля (эффект первого порядка). Кроме того (см. далее), граница будет дрейфовать с некоторой определенной скоростью, пропорциональной квадрату амплитуды переменного поля (эффект второго порядка).

## 2. Первый порядок теории возмущений: колебания межфазной доменной границы

Считая осциллирующее поле достаточно слабым и следуя общей схеме анализа динамики доменных границ в переменном поле, базирующейся на одной из версий теории возмущений для солитонов [14–18], введем коллективную переменную  $Y(t)$ , имеющую смысл координаты доменной границы в момент времени  $t$ , и будем искать решение уравнений движения (7)–(8) в виде

$$\theta = \frac{\pi}{2} + \vartheta(\xi, t), \quad \vartheta = \vartheta_0(\xi) + \psi(\xi, t), \quad (15)$$

где  $\xi = y - Y(t)$ . Функция  $\varphi_0(\xi)$  описывает движение неискаженной границы (структура функции  $\varphi_0(\xi)$  такая же, как и функции  $\varphi_0(y)$  в статическом решении (13)), а функции  $\psi(\xi)$  и  $\vartheta(\xi)$  отвечают искажению формы границы. Скорость дрейфа ДГ определяется как среднее значение мгновенной скорости ДГ  $V(t) = \dot{Y}(t)$  по периоду осцилляций,  $V_{dr} = \overline{V(t)}$ , где черта означает усреднение по периоду колебаний внешнего поля.

Функции  $\psi(\xi)$  и  $\vartheta(\xi)$ , описывающие искажение формы ДГ, а также скорость границы  $V(t)$  будем искать в виде рядов по степеням амплитуды поля, учитывая, что нас интересует только вынужденное движение ДГ

$$\begin{aligned} \vartheta(\xi, t) &= \vartheta_1(\xi, t) + \vartheta_2(\xi, t) + \dots, \\ \psi(\xi, t) &= \psi_1(\xi, t) + \psi_2(\xi, t) + \dots, \\ V &= V_1 + V_2 + \dots, \end{aligned} \quad (16)$$

где индексы  $n = 1, 2, \dots$  обозначают порядок малости величины по отношению к амплитуде поля,  $\psi_n, \vartheta_n, V_n \sim h^n$ .

Подставим разложения (16) в уравнения (7)–(8) и выделим члены различного порядка малости. Очевидно, что в нулевом приближении мы получим уравнение (10), описывающее покоящуюся межфазную доменную границу.

<sup>1</sup> Отметим, что наличие осциллирующего магнитного поля также приводит к сдвигу температуры фазового перехода [23], однако в настоящей работе этот эффект нас интересовать не будет.

Уравнения первого приближения по внешнему переменному полю можно записать в виде

$$(\hat{L} + \hat{T})\psi_1 - 2\frac{h_c g M_0}{\tilde{\omega}_0^2} \dot{\vartheta}_1 \sin \vartheta_0 = \frac{d}{2} \left( \frac{g M_0}{\tilde{\omega}_0} \right)^2 h_z \sin \vartheta_0 + \left( \frac{g M_0}{\tilde{\omega}_0} \right) \dot{h}_z + \frac{\sin 2\varphi_0}{2y_0 \tilde{\omega}_0^2} (\dot{V}_1 + \omega_r V_1) - \left( \frac{g M_0}{\tilde{\omega}_0} \right)^2 h_c [h_x \cos 2\varphi_0 + h_y \sin 2\varphi_0], \quad (17)$$

$$(\hat{L}' + \hat{T} + \sigma)\vartheta_1 + 2\frac{h_c g M_0}{\tilde{\omega}_0^2} \dot{\psi}_1 \sin \varphi_0 = -\frac{d(g M_0)^2}{2\tilde{\omega}_0^2} h_x + \left( \frac{g M_0}{\tilde{\omega}_0} \right)^2 h_c h_z \sin \varphi_0 + \frac{g M_0}{\tilde{\omega}_0^2} \left[ \dot{h}_y \cos \varphi_0 - \dot{h}_x \sin \varphi_0 + \frac{V_1}{y_0} h_c \sin \varphi_0 \sin 2\varphi_0 \right]. \quad (18)$$

Здесь введены обозначения:  $\mathbf{h}(t) = \dot{\mathbf{H}}(t)/M_0$ ,  $h_c = H_c/M_0$ ,  $\sigma = (1 - k^{-1})\omega_0^2/\tilde{\omega}_0^2$ ,  $k = \beta_1/\beta'$ ,

$$\hat{T} = \frac{1}{\tilde{\omega}_0^2} \frac{d^2}{dt^2} + \frac{\omega_r}{\tilde{\omega}_0^2} \frac{d}{dt}, \quad (19)$$

где  $\omega_0 = gM_0(\beta_1\delta)^{1/2}/2$  и  $\tilde{\omega}_0 = c/y_0 = \omega_0(\beta'/\beta_1)^{1/2} \ll \omega_0$  — частоты активации объемной ветви спиновых волн в магнетике вдали от температуры фазового перехода  $T_M$  и при  $T = T_M$  соответственно;  $\omega_r = \lambda\delta gM_0/4$  — характерная релаксационная частота.

Оператор  $\hat{L}$  в уравнении (17) имеет вид оператора Шредингера с безотражательным потенциалом

$$\hat{L} = -y_0^2 \frac{d^2}{d\xi^2} + 1 - \frac{2}{\text{ch}^2(\xi/y_0)}. \quad (20)$$

Спектр и волновые функции оператора  $\hat{L}$  (20) хорошо известны. Он обладает одним дискретным уровнем  $\lambda_0 = 0$ , соответствующем локализованной волновой функции

$$f_0(\xi) = \frac{1}{(2y_0)^{1/2} \text{ch}(\xi/y_0)}, \quad (21)$$

а также непрерывным спектром  $\lambda_k = 1 + (ky_0)^2$ , которому отвечают собственные функции

$$f_k(\xi) = \frac{1}{b_k L^{1/2}} \left( \text{th}(\xi/y_0) - iky_0 \right) e^{ik\xi}, \quad (22)$$

где  $b_k = [1 + (ky_0)^2]^{1/2}$ ,  $L$  — длина кристалла.

Оператор  $\hat{L}'$  в уравнении (18) имеет вид

$$\hat{L}' = \hat{L} + \frac{5}{4 \text{ch}^2(\xi/y_0)} + \left( 1 + \frac{\beta'_2}{|\beta'_3|} \right) \frac{\exp(\xi/y_0)}{2 \text{ch}(\xi/y_0)}. \quad (23)$$

В отличие от оператора  $\hat{L}$ , оператор  $\hat{L}'$  (23) свойством безотражательности не обладает, его спектр и собственные функции неизвестны, что существенно усложняет

анализ динамики 90-градусной ДГ по сравнению с аналогичной задачей для 180-градусных границ (для рассмотренных в [15–18] моделей магнетиков в уравнениях первого приближения, аналогичных уравнениям (17)–(18), фигурирует только безотражательный оператор  $\hat{L}$ ). Поэтому при решении уравнений первого приближения мы воспользуемся тем обстоятельством, что в [5,11–13] использовались частоты переменного внешнего магнитного поля  $\omega \sim 10^6 - 10^7 \text{ s}^{-1}$ , что значительно меньше, чем характерные частоты  $\omega_0$  и  $\tilde{\omega}_0$  (для типичных РЗО  $\omega_0 \sim 10^{11} \text{ s}^{-1}$ ,  $\tilde{\omega}_0 \sim 10^9 - 10^{10} \text{ s}^{-1}$ ). При этом, как нетрудно видеть, фигурирующий в уравнении (18) параметр  $\sigma \sim (\omega_0/\tilde{\omega}_0)^2 \gg 1$ , и поэтому в этом уравнении можно пренебречь слагаемым  $(\hat{L}' + \hat{T})\vartheta_1$  по сравнению с  $\sigma\vartheta_1$  и выразить функцию  $\vartheta_1(\xi, t)$  через функцию  $\psi_1(\xi, t)$

$$\vartheta_1 = -2\frac{h_c g M_0}{\omega_0^2} \dot{\psi}_1 \sin \varphi_0 - \frac{d(g M_0)^2}{2\omega_0^2} h_x + 4 \left( \frac{g M_0}{\omega_0} \right)^2 h_c h_z \sin \varphi_0 + \frac{g M_0}{\omega_0^2} \left[ \dot{h}_y \cos \varphi_0 - \dot{h}_x \sin \varphi_0 + \frac{V_1}{y_0} h_c \sin \varphi_0 \sin 2\varphi_0 \right]. \quad (24)$$

Подставляя выражение для  $\vartheta_1$  в уравнение (17) и пренебрегая малыми по параметру  $\omega/\tilde{\omega}_0 \gg 1$  слагаемыми, получим уравнение для функции  $\psi_1(\xi, t)$  в виде

$$(\hat{L} + \hat{T})\psi_1 = \frac{\sin 2\varphi_0}{2y_0 \tilde{\omega}_0^2} (\dot{V}_1 + \omega_r V_1) - \frac{2(g M_0)^3}{(\omega_0 \tilde{\omega}_0)^2} h_c \sin \varphi_0 \left[ \frac{d}{2} \dot{h}_x - 4h_c \dot{h}_z \sin \varphi_0 \right] + \left( \frac{g M_0}{\tilde{\omega}_0} \right)^2 \left[ \frac{d}{2} h_z \sin \varphi_0 - h_c (h_x \cos 2\varphi_0 + h_y \sin 2\varphi_0) \right] + \frac{g M_0}{\tilde{\omega}_0^2} \dot{h}_z. \quad (25)$$

Решение уравнения (24) будем искать в виде разложения по собственным функциям оператора  $\hat{L}$  (20), которые образуют полный ортонормированный набор. Для монохроматического поля частоты  $\omega$  положим

$$\psi_1(\xi, t) = \text{Re} \left\{ \left[ \sum_k d_k f_k(\xi) + d_0 f_0(\xi) \right] e^{i\omega t} \right\}. \quad (26)$$

Коэффициенты разложения  $d_k$  и  $d_0$  в разложении (26) находятся стандартным образом путем умножения правой части уравнения (25) на  $f_k^*(\xi)$  или  $f_0^*(\xi)$  соответственно и интегрирования по переменной  $\xi$ .

Уравнения первого приближения (17)–(18) описывают возбуждение линейных спиновых волн на фоне доменной границы. При этом последнее слагаемое в разложении (26) отвечает сдвиговой (голдстоуновской) моде, которая описывает движение доменной границы

как целого. Однако соответствующая степень свободы уже учтена с помощью коллективной координаты  $Y(t)$  в определении переменной  $\xi$ , поэтому голдстоуновскую моду в разложении (26) следует опустить, т. е. мы должны потребовать, чтобы соответствующий коэффициент  $d_0 = 0$  (см. обсуждение этого вопроса в [24]). Условие отсутствия голдстоуновской моды в разложении (26) равносильно требованию ортогональности правой части уравнения (25) функции  $f_0(\xi)$ , что и определяет уравнение для скорости межфазной доменной границы  $V_1(t)$  в линейном по полю приближении

$$\begin{aligned} \dot{V}_1 + \omega_r V_1 = y_0 g M_0 \left[ 2h_c \left( \frac{gM_0}{\omega_0} \right)^2 (d\dot{h}_x - 2\pi h_c \dot{h}_z) \right. \\ \left. + gM_0 (2h_c h_y - d h_z) - \pi \dot{h}_z \right]. \end{aligned} \quad (27)$$

Уравнение (27) элементарно интегрируется, и для монохроматического поля частоты  $\omega$  имеем

$$\begin{aligned} V_1(t) = \frac{y_0 g M_0}{\omega^2 + \omega_r^2} \left\{ gM_0 (2h_c h_{0y} - d h_{0z}) (\omega \sin \omega t + \omega_r \cos \omega t) \right. \\ \left. + \omega (\omega \cos \omega t - \omega_r \sin \omega t) \left[ \left( \frac{gM_0}{\omega_0} \right)^2 2h_c (d h_{0x} \right. \right. \\ \left. \left. - 2\pi h_c h_{0z}) - \pi h_{0z} \right] \right\}. \end{aligned} \quad (28)$$

Выражение (28) описывает колебания межфазной доменной границы в осциллирующем внешнем поле и, как легко видеть, не приводит к дрейфу границы,  $\bar{V}_1(t) = 0$ .

Отметим, что при  $\omega = 0$ , т. е. в случае статического поля, выражение (28) описывает движение межфазной доменной границы с постоянной скоростью [8]. Аналогичные соотношения для скорости движения межфазных доменных границ, реализующихся при фазовом переходе типа Морина в ромбических сегнетомагнетиках под действием внешнего электрического поля были получены в [10].

Определяя коэффициенты  $d_k$  в разложении (26), получаем решение уравнения первого приближения (в приближении  $\omega \gg \omega_0$ )

$$\begin{aligned} \psi_1(\xi, t) = \text{Re} \left\{ a_x(t) \cos 2\varphi_0(\xi) + a_z(t) U(\xi) \right\}, \\ \vartheta_1(\xi, t) = \left( \frac{gM_0}{\omega_0} \right)^2 \text{Re} \left[ b_x(t) \sin \varphi_0(\xi) \cos 2\varphi_0(\xi) \right. \\ \left. + b_z(t) \sin \varphi_0(\xi) + c_x(t) + (c_z(t) + b_y(t)) \right. \\ \left. \times \sin^2 \varphi_0(\xi) \cos \varphi_0(\xi) + c_y(t) \cos \varphi_0(\xi) \right], \end{aligned} \quad (29)$$

где введены обозначения

$$a_x(t) = -h_c h_{0x} e^{i\omega t}, \quad a_z(t) = \left( \frac{gM_0}{\tilde{\omega}_0} \right)^2 \frac{d}{4\pi} h_{0z} e^{i\omega t},$$

$$\begin{aligned} b_x(t) = 2i \left( \frac{\omega}{gM_0} \right) h_c^2 h_{0x} e^{i\omega t}, \quad b_y(t) = 4 \left( \frac{gM_0}{\omega_r} \right) h_c^2 h_{0y} e^{i\omega t}, \\ b_z(t) = 4h_c h_{0z} e^{i\omega t}, \quad c_x(t) = -\frac{d}{2} h_{0x} e^{i\omega t}, \\ c_y(t) = i \left( \frac{\omega}{gM_0} \right) h_{0y} e^{i\omega t}, \quad c_z(t) = -2 \left( \frac{gM_0}{\omega_r} \right) d h_c h_{0z} e^{i\omega t}, \\ U(\xi) = L f_k(\xi) \int_{-\infty}^{+\infty} \int_{-\infty}^{+\infty} dk d\tilde{\xi} \frac{f_k^*(\tilde{\xi}) \sin \varphi_0(\tilde{\xi})}{\lambda_k}. \end{aligned}$$

Таким образом, в линейном по амплитуде переменному внешнему полю приближении межфазная доменная граница колеблется с частотой поля (28), а также имеет место искажение формы границы, описываемое формулами (29).

### 3. Второй порядок теории возмущений: дрейф межфазной границы

Перейдем к анализу уравнений второго приближения по амплитуде внешнего осциллирующего магнитного поля.

Соответствующую систему уравнений второго приближения в общем виде выписывать не будем, а приведем лишь уравнение, которое следует из уравнения (4),

$$\hat{L}\psi_2 = \frac{\sin 2\varphi_0}{2y_0\tilde{\omega}_0^2} (\dot{V}_2 + \omega_r V_2) + N(\xi, t), \quad (30)$$

где функция  $N(\xi, t)$  определяется выражением

$$\begin{aligned} N(\xi, t) = \frac{1}{\tilde{\omega}_0^2} (\dot{V}_1 + \omega_r V_1) \psi_1' + \sin 2\varphi_0 (5 \cos^2 \varphi_0 - 1) \psi_1^2 \\ - \frac{1}{4} \left( \frac{V_1}{c} \right)^2 \sin 4\varphi_0 - y_0 \sin 2\varphi_0 \vartheta_1 \vartheta_1' \\ - \vartheta_1^2 \left( \sin^2 \varphi_0 + \frac{\beta_2'}{2\beta_3'} \right) \sin 2\varphi_0 - \left( \frac{gM_0}{\tilde{\omega}_0^2} \right) \\ \times \left[ (\dot{h}_x \cos \varphi_0 + \dot{h}_y \sin \varphi_0) \vartheta_1 + 2(h_x \cos \varphi_0 \right. \\ \left. + h_y \sin \varphi_0) \dot{\vartheta}_1 + 2h_c (\psi_1 \dot{\vartheta}_1 \cos \varphi_0 - V_1 \vartheta_1' \sin \varphi_0) \right] \\ - \left( \frac{gM_0}{\tilde{\omega}_0} \right)^2 \left[ h_x h_y \cos 2\varphi_0 + \frac{1}{2} (h_y^2 - h_x^2) \sin 2\varphi_0 \right. \\ \left. - 2h_c (h_x \psi_1 \sin 2\varphi_0 + h_y \psi_1 \cos 2\varphi_0 \right. \\ \left. - \frac{1}{2} h_z \vartheta_1 \cos \varphi_0) \right] + \frac{1}{2} \left( \frac{gM_0}{\tilde{\omega}_0} \right)^2 \\ \times d h_z \psi_1 \cos \varphi_0. \end{aligned} \quad (31)$$

Уравнение второго приближения для функции  $\vartheta_2(\xi, t)$  имеет аналогичную структуру, однако не содержит слагаемого второго порядка в разложении скорости ДГ ( $V_2$ ), и поэтому нас в дальнейшем интересовать не будет.

Решение уравнения (31) также будем искать в виде разложения по полному ортонормированному набору собственных функций  $\{f_0(\xi), f_k(\xi)\}$  оператора  $\hat{L}$

$$\psi_2(\xi, t) = \text{Re} \left\{ \left[ \sum_k d_k^{(2)} f_k(\xi) + d_0^{(2)} f_0(\xi) \right] e^{i\omega t} \right\}. \quad (32)$$

При этом, так же как и в уравнении первого приближения, мы должны потребовать, чтобы в разложении функции  $\psi_2(\xi, t)$  отсутствовала сдвиговая мода, т.е. необходимо, чтобы правая часть уравнения (31) была ортогональна функции  $f_0(\xi)$  и коэффициент  $d_0^{(2)} = 0$ . Это требование приводит к уравнению, определяющему слагаемое второго порядка в разложении скорости границы  $V_2$

$$\dot{V}_2 + \omega_r V_2 = -\tilde{\omega}_0^2 \int_{-\infty}^{+\infty} d\xi N(\xi, t) \sin 2\varphi_0. \quad (33)$$

Подставляя вычисленные в предыдущем разделе функции  $\psi_1(\xi, t)$  и  $\vartheta_1(\xi, t)$  в (31) и проводя усреднение по периоду колебаний и интегрирование в (33), после простых, но довольно громоздких вычислений получим для скорости дрейфа  $V_{dr} = \overline{V_2(t)}$  следующее выражение:

$$V_{dr} = \sum_{ij} \nu_{ij}(\omega; \chi, \chi_1) \tilde{H}_{0i} \tilde{H}_{0j}. \quad (34)$$

Коэффициенты  $\nu_{ij}$  — некоторые функции частоты поля и сдвигов фаз, имеющие смысл нелинейных подвижностей межфазной границы

$$\begin{aligned} \nu_{xx} &= -\nu_0 \left[ 1 + h_c^2 \left( \frac{gM_0}{\tilde{\omega}_0} \right)^2 \right], \\ \nu_{yy} &= \nu_0 \left[ 1 + \frac{32}{15} h_c^4 \left( \frac{gM_0}{\omega_0} \right)^2 \left( \frac{gM_0}{\omega_r} \right)^2 \left( \frac{\tilde{\omega}_0}{\omega_0} \right)^2 \right], \\ \nu_{zz} &= \nu_0 \left[ -\frac{d^2}{32} \left( \frac{gM_0}{\tilde{\omega}_0} \right)^2 \eta + 4h_c^2 \left( \frac{gM_0}{\omega_0} \right)^2 \right. \\ &\quad \left. \times \left( -1 + \frac{\pi}{16} d \left( \frac{gM_0}{\omega_r} \right) \right) \right], \\ \nu_{xy} &= -2\pi\nu_0 h_c^2 \left( \frac{gM_0}{\tilde{\omega}_0} \right)^2 \cos \chi, \end{aligned}$$

$$\begin{aligned} \nu_{yz} &= \nu_0 \left( \frac{gM_0}{\omega_0} \right)^2 h_c \left[ \frac{2\eta_1}{\pi} d h_c^2 \left( \frac{gM_0}{\tilde{\omega}_0} \right)^2 \left( \frac{\omega}{\omega_r} \right) \sin(\chi - \chi_1) \right. \\ &\quad \left. + \left( \frac{5}{16} d \left( \frac{\omega_0}{\tilde{\omega}_0} \right)^2 - \frac{\pi}{2} h_c^2 \left( \frac{gM_0}{\omega_r} \right) - \frac{32}{15} d h_c^2 \left( \frac{gM_0}{\omega_r} \right)^2 \right) \right. \\ &\quad \left. \times \left( \frac{\tilde{\omega}_0}{\omega_0} \right)^2 + \frac{13}{2} \pi h_c^2 \left( \frac{gM_0}{\omega_r} \right) \left( \frac{\tilde{\omega}_0}{\omega_0} \right)^2 \right] \cos(\chi - \chi_1), \end{aligned}$$

$$\begin{aligned} \nu_{xz} &= \nu_0 \left( \frac{gM_0}{\tilde{\omega}_0} \right)^2 h_c \left[ d \left( \eta_2 + \left( \frac{\tilde{\omega}_0}{\omega_0} \right)^2 \right) \cos \chi_1 \right. \\ &\quad \left. - \frac{\pi^2}{2} \left( \frac{\omega}{gM_0} \right) \left( 1 + 4h_c^2 \left( \frac{gM_0}{\omega_0} \right)^2 \right) \sin \chi_1 \right], \quad (35) \end{aligned}$$

где  $\nu_0 = y_0 g^2 / 2\omega_r$ , а  $\eta$ ,  $\eta_1$ ,  $\eta_2$  — численные коэффициенты порядка 1.

Следует отметить, что, в отличие от изученных в [15] 180-градусных доменных границ в слабых ферромагнетиках, дрейф межфазных 90-градусных доменных границ оказывается возможным и при наличии только одной компоненты внешнего осциллирующего магнитного поля (в случае 180-градусных границ отличны от нуля только недиагональные компоненты тензора нелинейных подвижностей). Аналогичный результат имеет место и для 90-градусных межфазных границ при спин-флоп-переходе [14].

В типичных РЗО намагниченность подрешеток  $M_0 \sim 10^2$  Ое, поэтому при величинах внешнего постоянного поля порядка  $H_c \sim 10$  Ое можно пренебречь всеми слагаемыми в тензоре нелинейных подвижностей, пропорциональными  $h_c$ . При этом все недиагональные коэффициенты  $\nu_{ij}$ ,  $i \neq j$  обращаются в нуль, и остаются отличными от нуля только нелинейные подвижности

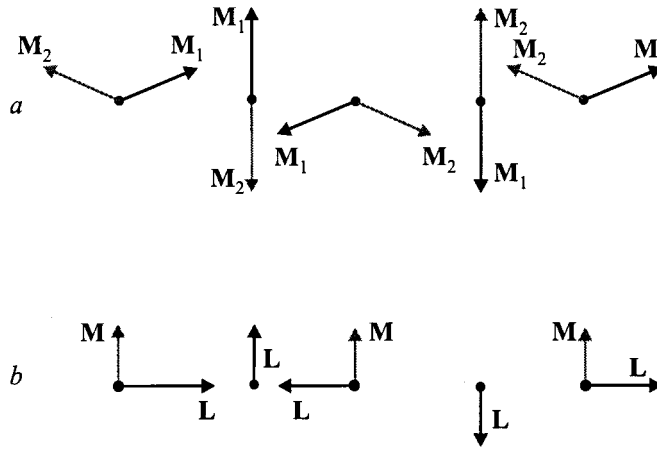
$$\nu_{xx} = -\nu_0, \quad \nu_{yy} = \nu_0, \quad \nu_{zz} = -\nu_0 \frac{d^2 \eta}{32} \left( \frac{gM_0}{\tilde{\omega}_0} \right)^2, \quad (36)$$

которые в рассматриваемом интервале частот  $\omega \ll \tilde{\omega}_0$  оказываются практически не зависящими от частоты внешнего осциллирующего поля.

Для численной оценки полученных компонент тензора НП воспользуемся следующими типичными значениями параметров:  $y_0 \sim 10^{-5}$  см,  $g \sim 10^7$  (с · Ое) $^{-1}$ ,  $\omega_r \sim 10^{10}$  с $^{-1}$  (характерное значение релаксационной частоты в РЗО достаточно велико, так как входящая в нее релаксационная константа  $\lambda$  обменно усилена). При этом величина  $\nu_0$  оказывается порядка  $10^{-1}$  см/(с · Ое $^2$ ). Учитывая также, что в типичных РЗО  $d \sim 10^2$ ,  $\tilde{\omega}_0 \sim 10^{10}$  с $^{-1}$ , найдем, что коэффициент нелинейной подвижности  $\nu_{zz}$ , пропорциональный квадрату константы взаимодействия Дзялошинского, оказывается значительно больше, чем коэффициенты  $\nu_{xx}$  и  $\nu_{yy}$ :  $\nu_{xx} \sim \nu_{yy} \sim 10^{-1}$  см/(с · Ое $^2$ ),  $\nu_{zz} \sim 1 - 10$  см/(с · Ое $^2$ ). Следовательно, при амплитуде внешнего поля порядка 1 Ое скорость дрейфа межфазной доменной границы может достигать 0.1 см/с при ориентации переменного поля в плоскости (XY), и 1–10 см/с при наличии Z-компоненты осциллирующего поля.

Как уже отмечалось, недиагональные компоненты тензора нелинейных подвижностей отличны от нуля только при наличии внешнего постоянного поля вдоль оси Y. Полагая  $H_c \sim 10$  Ое ( $h_c \sim 0.1$ ), получаем, что, например, коэффициент  $\nu_{xy}$  оказывается порядка  $10^{-2}$  см/(с · Ое $^2$ ), что значительно меньше диагональных коэффициентов.

Отметим также существенную зависимость некоторых компонент тензора нелинейных подвижностей от сдвига фаз ( $\chi$  и  $\chi_1$ ) между соответствующими компонентами внешнего поля.



Относительная ориентация векторов намагниченности подрешеток  $M_1$ ,  $M_2$  (a) и векторов слабо ферромагнетизма  $M$  и антиферромагнетизма  $L$  (b) в доменах, соответствующая доменной структуре, которая может дрейфовать как единое целое.

#### 4. Дрейф двухфазной доменной структуры

Как уже отмечалось выше, экспериментально наблюдаемый фазовый переход типа Морины [3,4] при наличии слабого внешнего постоянного магнитного поля, ориентированного вдоль оси  $Y$ , сопровождается образованием когерентной двухфазной доменной структуры (промежуточного состояния). Поэтому естественно возникает вопрос о возможности дрейфа всей доменной структуры как целого (аналогичная задача о дрейфе промежуточного состояния, возникающего при спин-флоп переходе в одноосных антиферромагнетиках, рассмотрена в [14]).

Так же как и промежуточное состояние при спин-флоп фазовом переходе, когерентная доменная структура, реализующаяся при переходе типа Морины, состоит из чередующихся доменов слабо ферромагнитной фазы, в которых вектор антиферромагнетизма  $L$  ориентируется параллельно или антипараллельно оси  $X$  (а вектор слабо ферромагнетизма  $m$  — соответственно параллельно или антипараллельно оси  $Z$ ), и доменов антиферромагнитной фазы, в которых вектор  $L$  параллелен или антипараллелен оси  $Y$  (а  $m = 0$ ).

Нетрудно видеть, что в такой двухфазной структуре возможны восемь типов 90-градусных межфазных границ, разделяющих домены с различной ориентацией вектора  $L$  и, кроме того, отличающихся направлением вращения вектора при переходе из левого домена в правый. Совершенно естественно, что доменная структура в промежуточном состоянии будет дрейфовать как единое целое лишь в том случае, когда все ДГ в структуре будут дрейфовать в одну сторону с одним и тем же значением скорости дрейфа.

В предыдущем разделе рассмотрен дрейф уединенной межфазной ДГ с вполне конкретной ориентацией вектора антиферромагнетизма  $L$  в левом и правом доменах, а именно при решении уравнения (10), определяющего структуру ДГ, мы использовали граничные условия

$\varphi_0(-\infty) = 0$ ,  $\varphi_0(+\infty) = \pi/2$ , т.е. считали, что вектор  $L$  ориентирован вдоль оси  $X$  в левом домене (при  $y \rightarrow -\infty$ ) и вдоль оси  $Y$  в правом домене (при  $y \rightarrow +\infty$ ).

Анализ динамики всех других возможных в рассматриваемой структуре межфазных ДГ показывает, что скорость дрейфа всех типов доменных границ определяется формулой

$$V_{dr} = \rho \sum_{ij} \nu_{ij}(\omega; \chi, \chi_1) \tilde{H}_{0i} \tilde{H}_{0j}, \quad (37)$$

отличающейся от формулы (34) только наличием дополнительного множителя  $\rho$ , равного  $\pm 1$  и определяющего "спиральность" границы:  $\rho = \pm 1$ , если в рассматриваемой доменной границе  $\varphi'_0 > 0$ , т.е. при переходе из левого домена в правый вектор  $L$  разворачивается против часовой стрелки, и  $\rho = -1$ , если  $\varphi'_0 = 0$ , т.е. при вращении вектора  $L$  по часовой стрелке. Следовательно, в заданном осциллирующем внешнем магнитном поле все границы дрейфуют с одной и той же по абсолютной величине скоростью, однако направление дрейфа зависит от взаимной ориентации вектора  $L$  в доменах, разделяемых межфазной границей: в одну и ту же сторону движутся все границы, имеющие одинаковое направление вращения вектора  $L$ , т.е. границы, в которых знак производной  $\varphi'_0$  одинаков. Например, в ту же сторону, что и изученная выше конкретная межфазная ДГ, будут дрейфовать границы, у которых  $\varphi'_0 > 0$ , т.е. при переходе из левого домена в правый вектор  $L$  разворачивается против часовой стрелки. Схематически такая структура изображена на рисунке.

В настоящее время нет убедительных экспериментальных данных о том, реализуется ли при фазовом переходе типа Морины именно такая доменная структура или нет, однако, так же как и при спин-флоп фазовом переходе, требуемая структура может быть создана специальным образом: принципы ее организации предложены в работах [25,26].



Авторы искренне признательны С.Л. Гнатченко и А.Б. Чижику за ознакомление с еще не опубликованными результатами экспериментальных исследований по дрейфу межфазных доменных границ, а также К.И. Примаку за помощь в работе.

Работа частично поддержана Международной соросовской программой поддержки в области точных наук (ISSEP) Международного фонда "Возрождение" (грант N APU 062018).

## Список литературы

- [1] С.В. Вонсовский. Магнетизм. Наука, М. (1971).
- [2] К.П. Белов, А.К. Звездин, А.М. Кадомцева, Р.З. Левитин. Ориентационные фазовые переходы в редкоземельных магнетиках. Наука, М. (1979). 317 с.
- [3] В.В. Еременко, Н.Ф. Харченко, Ю.Г. Литвиненко. Магнитооптика и спектроскопия антиферромагнетиков. Наукова думка, Киев. (1989). 264 с.
- [4] С.Л. Гнатченко, Н.Ф. Харченко, К. Петровски, Г. Шимчак, Р. Шимчак. ЖЭТФ **99**, 874 (1991).
- [5] С.Л. Гнатченко, А.Б. Чирик. Частное сообщение.
- [6] Б.А. Иванов. ЖЭТФ **79**, 581 (1980).
- [7] В.Г. Барьяхтар, Б.А. Иванов, М.В. Четкин. УФН **146**, 417 (1985).
- [8] Т.К. Соболева, Е.П. Стефановский, А.Л. Сукстанский. Письма в ЖЭТФ **42**, 59 (1985).
- [9] А.К. Звездин, А.А. Мухин. Краткие сообщения по физике. ФИАН **6**, 11 (1985).
- [10] Т.К. Соболева, Е.П. Стефановский, А.Л. Сукстанский. ФТТ **26**, 2725 (1984).
- [11] С.Л. Гнатченко, Н.Ф. Харченко, А.Б. Чирик. ФНТ **12**, 1111 (1986).
- [12] С.Л. Гнатченко, А.Б. Чирик, Н.Ф. Харченко. ФНТ **15**, 304 (1989).
- [13] С.Л. Гнатченко, А.Б. Чирик, Н.Ф. Харченко. Письма в ЖЭТФ **51**, 282 (1990).
- [14] В.С. Герасимчук, А.Л. Сукстанский. ЖЭТФ **112**, 1374 (1997).
- [15] В.С. Герасимчук, А.Л. Сукстанский. ЖЭТФ **103**, 151 (1993).
- [16] В.Г. Барьяхтар, Ю.И. Горобец, С.И. Денисов. ЖЭТФ **98**, 1345 (1990).
- [17] В.С. Герасимчук, А.Л. Сукстанский. ФНТ **20**, 142 (1994).
- [18] V.S. Gerasimchuk, A.L. Sukstanskii. J. Magn. Magn. Mater. **146**, 323 (1995).
- [19] Е.А. Туров. Физические свойства магнитоупорядоченных кристаллов. Изд-во АН СССР, М. (1962). 224 с.
- [20] Б.А. Иванов, А.Л. Сукстанский. ЖЭТФ **94**, 204 (1988).
- [21] И.В. Барьяхтар, Б.А. Иванов. ФНТ **5**, 759 (1979).
- [22] В.Г. Барьяхтар, Б.А. Иванов, А.Л. Сукстанский. ЖЭТФ **78**, 1509 (1980).
- [23] В.С. Герасимчук, Ю.И. Горобец. ФНТ **5**, 753 (1979).
- [24] R. Rajaraman. Solitons and Instantons in Quantum Field Theory. North-Holland, Amsterdam (1982).
- [25] Н.Ф. Харченко, В.А. Бедарев. Письма в ЖЭТФ **56**, 360 (1992).
- [26] Н.Ф. Харченко, В.А. Бедарев. ФНТ **19**, 72 (1993).